

УДК 539.213:539.26

## СТРУКТУРООБРАЗОВАНИЕ И МАГНИТНЫЕ СВОЙСТВА ПЛЕНОК СИСТЕМЫ Co-Fe-Ni-Si-B, ПОЛУЧЕННЫХ МЕТОДОМ SPLAT-ОХЛАЖДЕНИЯ

БАШЕВ В. Ф. , *д.ф.-м.н, проф.*,  
КУЦЕВА Н. А. , *к.ф.-м.н.*  
ДЕЛОВ В. В., студент

Кафедра экспериментальной физики и физики металлов, Государственное высшее учебное заведение "Днепропетровский национальный университет имени О. Гончара", пр. Гагарина, 72, 49010, Днепропетровск, Украина, тел. +38(066)2410661, e-mail: [kutseva\\_n@mail.ru](mailto:kutseva_n@mail.ru)

**Аннотация.** *Цель.* Методы сверхбыстрого охлаждения из расплава позволяют формировать в структуре материалов новые метастабильные фазы (включая аморфное состояние), обладающие уникальным набором физических свойств. Практическое использование этих материалов ограничено областью термической стабильности аморфного состояния. Поэтому изучение влияния скорости охлаждения на структуру полученных пленок, а также определение области термической стабильности аморфного состояния и влияния различных видов термообработки на превращения, протекающие в твердом состоянии, механизмы кристаллизации, является актуальной задачей. *Методика.* Исследование структуры и фазового состава исходных и отожженных образцов проводили методами рентгеноструктурного анализа и металлографии. Магнитные свойства пленок определяли с помощью вибрационного магнитометра. *Результаты.* Установлено, что в пленках состава  $Co_{67.2}Fe_{6.1}Ni_{10}Si_{11}B_{15.9}$  с увеличением скорости охлаждения от  $10^4$  К/с до  $10^6$  К/с наблюдается переход от кристаллической структуры (смесь фаз  $\beta$ -Co(B) и (Co,Si) $_3$ B) к аморфной. Размер областей когерентного рассеяния составил  $\sim 2$  нм. При переходе от кристаллической структуры к аморфной наблюдается значительное уменьшение коэрцитивной силы исходных пленок от 4000 А/м до 80 А/м. Кристаллизация аморфных пленок наблюдается при отжигах 480 – 510 °С (5 мин) с формирования первичных кристаллов  $\beta$ -Co(B) в аморфной матрице. При последующем отжиге 550 °С (5 мин) структура пленок представляет собой смесь  $\beta$ -Co(B) и метастабильной фазы (Co,Si) $_3$ B (структурный тип Fe $_3$ C). Коэрцитивная сила отожженных пленок возрастает до 24 000 А/м, что обусловлено кристаллизацией пленок и формированием многофазной структуры. Структура пленок, отожженных в температурном интервале 480 – 570 °С (5 мин) при наличии одноосного растяжения, продолжает оставаться аморфной. Размер областей когерентного рассеяния увеличился до 3 нм. Коэрцитивная сила этих пленок составляет  $\sim 80$  А/м. Таким образом, наличие одноосного растяжения в процессе нагрева приводит к увеличению термической стабильности аморфной фазы. *Научная новизна.* Установлено, что одноосное растяжение, приложенное в процессе нагрева, позволяет расширить интервал стабильности аморфной фазы, и кристаллизация пленок происходит при температурах выше 570 °С, что на 80–100°С выше, чем при традиционном отжиге. Возможно, это связано с тем, что, при наличие одноосного растяжения, приложенного при нагрева стимулирует процессы разделения аморфной фазы на две составляющие с разным химическим составом и последующей кристаллизацией по эвтектическому типу ( смесь фаз  $\beta$ -Co(B) и (Co,Si) $_3$ B). *Практическая значимость.* Возрастание области термической стабильности аморфного состояния позволяет расширить область практического применения пленок в микроэлектронике и прецизионной аппаратуре.

**Ключевые слова:** аморфное состояние; переохлаждение расплава; коэрцитивная сила;

## СТРУКТУРОУТВОРЕННЯ ТА МАГНІТНІ ВЛАСТИВОСТІ ПЛІВОК СИСТЕМИ Co-Fe-Ni-Si-B, ОТРИМАНИХ МЕТОДОМ SPLAT-ОХОЛОДЖЕННЯ

БАШЕВ В. Ф. , *д.ф.-м.н, проф.*,  
КУЦЕВА Н. А. , *к.ф.-м.н., доц.*  
ДЕЛОВ В. В., студент

<sup>1\*</sup> Кафедра експериментальної фізики і фізики металів, Державний вищий навчальний заклад "Дніпропетровський національний університет імені О. Гончара", пр. Гагарина, 72, 49010, Дніпропетровськ, Україна, тел. +38 (066)2410661, e-mail: [kutseva\\_n@mail.ru](mailto:kutseva_n@mail.ru)

**Анотація.** *Мета.* Методи надшвидкого охолодження із розплаву дозволяють формувати у структурі матеріалів нові метастабільні фази (включаючи аморфний стан), які володіють унікальним набором фізичних властивостей. Практичне використання таких матеріалів обмежено областю термічної стабільності аморфного стану. Тому дослідження впливу швидкості охолодження на структуру отриманих плівок, а також визначення області термічної стабільності аморфного стану та вплив різних видів термообробки на перетворення, які проходять у твердому стані, механізми кристалізації, є актуальною задачею. *Методика.* Дослідження структури та фазового складу, вихідних та відпалених зразків, проведено методом рентгеноструктурного аналізу. Магнітні властивості плівок визначені за допомогою вібраційного магнітометра.

**Результати.** Встановлено, що у плівках складу  $\text{Co}_{67.2}\text{Fe}_{6.1}\text{Ni}_{10}\text{Si}_{11}\text{B}_{15.9}$  із збільшенням швидкості охолодження від  $10^4$  К/с до  $10^6$  К/с спостерігається перехід від кристалічної структури (суміш фаз  $\beta\text{-Co(B)}$  і  $(\text{Co,Si})_3\text{B}$ ) до аморфної. Розмір областей когерентного розсіювання склав  $\sim 2$  нм. При переході з кристалічної структури до аморфної спостерігається значне зниження коерцитивної сили вихідних плівок від 4000 А/м до 80 А/м. Кристалізація аморфних плівок спостерігається при відпалах  $480 - 510$  °С (30хв) з формуванням первісних кристалів  $\beta\text{-Co(B)}$  у аморфній матриці. При наступному відпалі  $550$  °С (5 хв) структура плівок представляла собою суміш  $\beta\text{-Co(B)}$  та метастабільної фази  $(\text{Co,Si})_3\text{B}$  (структурний тип  $\text{Fe}_3\text{C}$ ). Коерцитивна сила відпалених плівок зросла до 24 000 А/м, що обумовлено кристалізацією плівок та формуванням багатофазної структури. Структура плівок, відпалених у температурному інтервалі  $480 - 570$  °С (5 хв) за наявності одноосного розтягу, продовжує залишатися аморфною. Розмір областей когерентного розсіювання збільшився до 3 нм. Коерцитивна сила плівок склала  $\sim 80$  А/м. Таким чином, присутність одноосного розтягу, прикладеного під час термообробки, призводить до збільшення термічної стабільності аморфної фази. **Наукова новизна.** Встановлено, що одноосний розтяг, прикладений під час процесу термообробки, стимулює процеси твердіння аморфної фази, і кристалізація плівок проходить за температур вище  $570$  °С, що на  $80-100$  °С вище, ніж при традиційному відпалі. Можливо, це зв'язано з тим, що при наявності одноосного розтягу, прикладеного під час термообробки, стимулює процеси розділу аморфної фази на дві складові із різним хімічним складом та наступною кристалізацією за евтектичним типом ( суміш фаз  $\beta\text{-Co(B)}$  і  $(\text{Co,Si})_3\text{B}$ ) **Практична значимість.** Збільшення області термічної стабільності аморфного стану дозволяє розширити область практичного застосування плівок у мікроелектроніці та прецизійній апаратурі.

**Ключові слова:** аморфний стан, переохолодження розплаву; коерцитивна сила;

## STRUCTURE FORMATION AND MAGNETIC PROPERTIES OF Co-Fe-Ni-Si-B FILMS, OBTAINED BY THE SPLAT-QUENCHING

BASHEV V.F., *Dr. Sc. (Phys.), Prof.*  
KUTSEVA N.A., *Cand. Sc. (Phys.), Doc*  
DELOV V.V., *Student*

Department of experimental physics and physics of metal, State Higher Education Establishment "Oles Honchar Dnipropetrovsk National University", 72, Gagarina av., Dnipropetrovsk 49010, Ukraine, тел. +38 (066) 241-06-61, e-mail: [kutseva\\_n@mail.ru](mailto:kutseva_n@mail.ru).

1. **Abstract. Purpose.** The new metastable phases (including amorphous state), that are characterised unique physical properties, can be obtained by the quenching from the melt. The practical use of amorphous materials is restricted by the thermal interval of amorphous state stability. Study of influence of cooling rate on the films structure, as well as the effect of thermal treatments on the phase transformations occurred in solid states are very important. **Methodology.** The structure details of initial and treated films are determined by means of X-ray diffraction and metallographic methods. Magnetic properties were investigated by the vibration magnetometer. **Findings.** It has been found, that the change from crystalline structure (mixture of phases  $\beta\text{-Co(B)}$  и  $(\text{Co,Si})_3\text{B}$ ) to amorphous one is observed in  $\text{Co}_{67.2}\text{Fe}_{6.1}\text{Ni}_{10}\text{Si}_{11}\text{B}_{15.9}$  films with increase of cooling rate from  $10^4$  K/s to  $10^6$  K/s. Size of the coherently diffracting domains was approx. 2 nm. The structure change and formation of amorphous phase leads to the drastic decrease of initial films coercivity from 4000 A/m to 80 A/m. The crystallisation of amorphous films occurs in temperature range  $480 - 510$  °C (5 min). In the first stage, only primary  $\beta\text{-Co(B)}$  crystals appears in residual amorphous matrix. The annealing at the temperature  $550$  °C (5 min) leads to the decomposition of residual amorphous phase. In the second one, metastable phase  $(\text{Co,Si})_3\text{B}$  (structure type  $\text{Fe}_3\text{C}$ ) is formed. Coercivity of treated films increased to 24 000 A/m. It connected with crystallisation processes and the formation of multiphase structure. The annealing under tensile stress in this temperature interval  $480 - 570$  °C (5 min) did not alter the films structure. Size of the coherently diffracting domains increased up to 3 nm. Coercivity of treated films under tensile stress was 80 A/m. **Originality.** Annealing under tensile stress increased the thermal stability of amorphous phase. The crystallisation processes begins at temperature up to  $570$  °C, that expands the thermal interval stability of amorphous phase on  $80-100$  °C. It is possible that stress annealing stimulates the processes of amorphous phase separation into two phase with different short order and following formation of the phase mixture ( $\beta\text{-Co(B)}$  и  $(\text{Co,Si})_3\text{B}$ ) through eutectic crystallization. **Practical value.** Increase the thermal interval stability of amorphous phase will expand practical use in devices and precized apparatuses.

**Keywords:** amorphous state, alloy undercooling, coercivity.

### Введение

Интерес к изучению закономерностей формирования структуры сплавов системы Co-Si-B, полученных методами сверхбыстрого охлаждения, обусловлен возможностью создания в них новых метастабильных

структур, которые характеризуются уникальным набором физических свойств. Аморфные материалы на основе кобальта, характеризующиеся близкой к нулю константой магнитострикцией, применяются при изготовлении высокочувствительных магнитных датчиков, магнитных записывающих головок [1-4].

### Цель

Целью данной работы является изучение влияния скорости охлаждения на фазовые равновесия в пленках системы Co-Fe-Ni-Si-B, полученных методом splat-охлаждения, установления термического интервала стабильности аморфной фазы, а также влияния различных видов термообработки на последовательность фазовых превращений, протекающих в процессе кристаллизации, механизмы кристаллизации и физические свойства пленок.

### Методика

Исследование структуры и фазового состава исследованных пленок проводили методом рентгеноструктурного анализа на дифрактометре ДРОН –УМ1 в монохроматическом  $\text{Co K}_\alpha$  излучении и металлографическим методом на микроскопе Neophot-21. Идентификацию фаз проводили при сравнении экспериментальных данных с табличными [5,6]. Исследование магнитных свойств пленок проводили на вибрационном магнитометре.

### Результаты

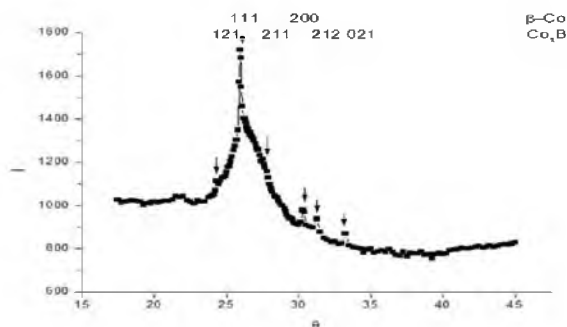


Рис.1 Интенсивность рассеянного излучения пленки толщиной 150 мкм

Данные рентгеноструктурного анализа показали, что фазовый состав пленок, полученных при скорости охлаждения  $\sim 10^4$  К/с (толщиной  $\sim 150 \div 200$  мкм [7,8]), представляет собой смесь фаз  $\beta\text{-Co}$  ( $a=0.3531$  нм), и метастабильной фазы  $(\text{Co,Si})_3\text{B}$  (структурный тип  $\text{Fe}_3\text{C}$ ), рис. 1, 2.

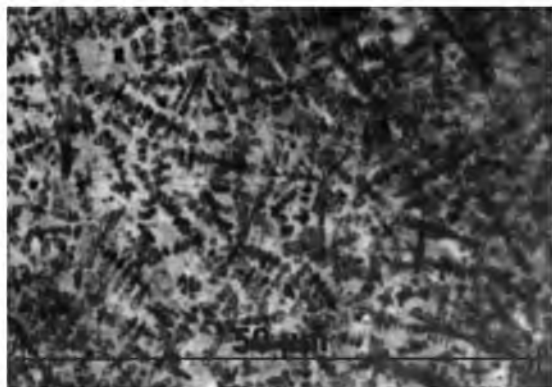


Рис. 2 Микроструктура пленки толщиной 150 мкм

Как видно из рис. 2, структура пленки дендритная, что может быть связано с температурным и концентрационным переохлаждением расплава. Следует отметить, что период решетки  $\beta\text{-Co}$  меньше равновесного, что связано с образованием твердого раствора  $\beta\text{-Co(B)}$  с содержанием бора  $\sim 9$  ат.% [8].

Увеличение скорости охлаждения до  $10^5$  К/с (толщина пленок  $70 \div 80$  мкм) приводит к изменению фазовых равновесий в системе и формированию аморфно-кристаллической структуры, состоящей из кристаллитов  $\beta\text{-Co}$  ( $a=0.353$  нм) в аморфной матрице, рис. 3. Как видно из рис. 3, структура пленок состоит из мелкодисперсных включений кристаллитов  $\beta\text{-Co}$  на фоне светлой аморфной матрицы.

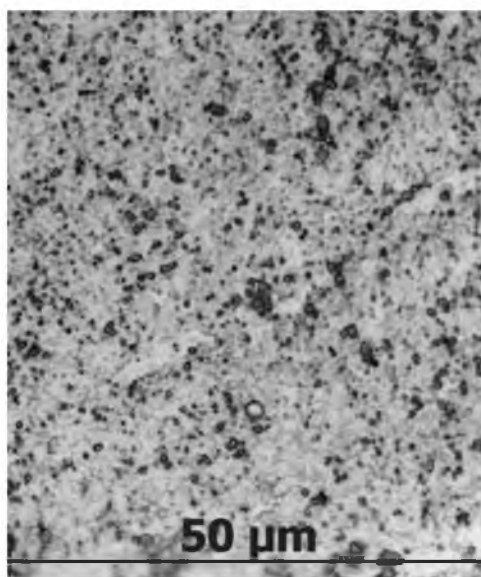


Рис. 3 Микроструктура пленки толщиной 80 мкм

При дальнейшем увеличении скорости охлаждения до  $10^6 \div 10^7$  К/с, что соответствует толщине пленок  $20 \div 50$  мкм, происходит формирование аморфной структуры, рис. 4.

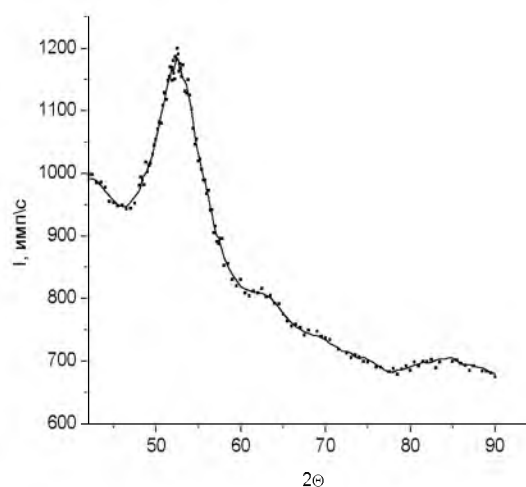
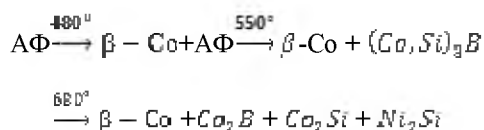


Рис. 4 Интенсивность рассеянного излучения пленки толщиной 50 мкм

По рассчитанной интегральной ширине главного максимума интенсивности и формуле Селякова-Шерера [9] был оценен размер областей когерентного рассеяния ОКР, который составил ~ 2 нм. Коэффициентная сила исходных пленок с увеличением скорости охлаждения (изменением толщины пленок от 150 мкм до 50 мкм) уменьшается от 4000 А/м до 80 А/м, что связано с изменениями в структуре и формированием аморфного состояния [10]. Таким образом, увеличение степени переохлаждения расплава позволяет изменять структуру пленок в широких пределах от кристаллической (с различными фазовыми составляющими и степенью дисперсности) до аморфной.

Для определения температурного интервала устойчивости аморфной фазы и установления последовательности фазовых превращений, протекающих при нагреве, были произведены традиционные отжиги и отжиги при наличии одноосного растяжения. При отжиге в температурном интервале 480÷500 °С (5 мин) наблюдается образование первичных кристаллов β-Co в аморфной матрице. При последующем отжиге 550 °С (5 мин) структура пленок представляет собой смесь β-Co(B) и метастабильной фазы (Co,Si)<sub>3</sub>B. Последовательность фазовых превращений, протекающих в пленках при нагреве, имеет вид:



Известно, что отжиги способствуют протеканию релаксационных процессов и могут снимать закалочные напряжения, возникающие в пленках при получении. Но приложение одноосного напряжения во время нагрева может влиять как на процессы кристаллизации пленок, так и на формирование магнитной структуры [11-13]. Поэтому были произведены отжиги в том же температурном интервале при наличии одноосного растяжения 2 и 4 МПа. Установлено, что такая термомеханическая обработка приводит к возрастанию интервала стабильности аморфной фазы до 570 °С, рис.5.

Как видно из рис. 5, профиль главного максимума интенсивности остается уширенным, размеры ОКР составили ~ 3 нм. Как известно, аморфная структура неоднородна и содержит кластеры с разным ближним порядком. Возможно, что одноосное растяжение способствует разделению аморфной фазы на две составляющие с разным ближним порядком и последующей кристаллизации по эвтектическому

типу смеси фаз β-Co и метастабильной фазы (Co,Si)<sub>3</sub>B [14-15]. Коэффициентная сила пленок, отожженных в данном температурном интервале, при наличии одноосного напряжения остается ~80 А/м, что расширяет термическую область практического применения.

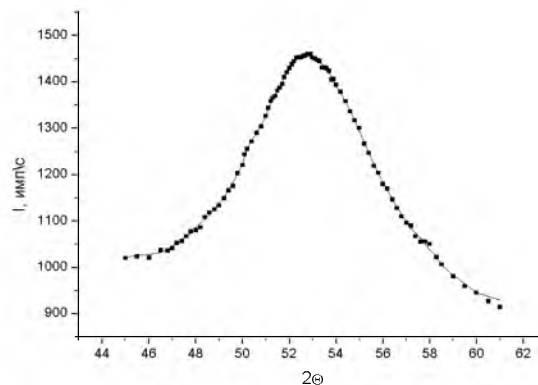


Рис. 5 Интенсивность рассеянного излучения пленки (отжиг 570 °С (5 мин), σ=2 МПа)

#### Научная новизна и практическая значимость

Установлено, что термомеханическая обработка позволяет расширить термический интервал стабильности аморфного состояния на ~100 °С, что дает возможность использовать исследованные пленки в этом температурном интервале в качестве магнитно-мягкого материала для сердечников в высокочастотных трансформаторах.

#### Выводы

1. Установлено, что в пленках системы Co-Fe-Ni-Si-B, полученных методом sput-охлаждения, с увеличением скорости охлаждения от 10<sup>4</sup> К/с до 10<sup>5</sup> К/с наблюдается переход от кристаллической структуры, состоящей из смеси фаз β-Co и метастабильной фазы (Co,Si)<sub>3</sub>B, к аморфной.
3. Одноосное растяжение, приложенное в процессе нагрева, приводит к возрастанию термического интервала стабильности аморфной фазы до 570 °С, что на 100 °С больше, чем при традиционном отжиге.
2. Кристаллизация аморфных пленок происходит ступенчато через образование метастабильной фазы ПМ<sub>3</sub>B с последующим ее распадом на равновесные фазы.

Потапов А.П./ Теоретические и технологические принципы создания магнитно-мягких материалов с новым уровнем функциональных характеристик // Сб. тезисов Совещания по программе ОФН РАН новые материалы и структуры. Москва, Черноголовка: ИФТТ РАН, – 2006. – 121–122с.

#### СПИСОК ИСПОЛЬЗОВАННЫХ ИСТОЧНИКОВ / REFERENCES

1. Филиппов Б.Н., Губернаторов В.В., Драгошпанский Ю.Н., Дмитриева Н.В., Ершов Н.В., Лукшина В.А.,

Filipov B.N., Gubernatorov V.V., Dragoshanskiy U.N., Dmitrieva N.V., Ershov N.B., Lukshina V.A., Potapov A.P., Teoreticheskie i tehnologicheskie principy sozdaniya magneto-myagkih materealov s novim urovnem funktsionalnih haracteristic [Theoretic and technical principles of creation soft-magnetic materials with new function characteristics level]. Sbornic tezisov soveshanie po programe OFN RAN novie materiali i strukturi [Abstracts book new materials and stractions] - Moscow, Chernogolovka Publ., 2006, p. 121 – 122.

2. Теоретические и технологические принципы создания магнитно-мягких материалов с новым уровнем функциональных характеристик / Филиппов Б.Н., Губернаторов В.В., Драгошанский Ю.Н., Дмитриева Н.В., Ершов Н.В., Лукшина В.А., Потапов А.П. // Сб. тезисов Совещания по программе ОФН РАН новые материалы и структуры. Москва, Черногловка: ИФТТ РАН, – 2007. – 124–125с

Filipov B.N., Gubernatorov V.V., Dragoshanskiy U.N., Dmitrieva N.V., Ershov N.B., Lukshina V.A., Potapov A.P., Teoreticheskie i tehnologicheskie principy sozdaniya magneto-myagkih materealov s novim urovnem funktsionalnih haracteristic [Theoretic and technical principles of creation soft-magnetic materials with new function characteristics level]. Sbornic tezisov soveshanie po programe OFN RAN novie materiali i strukturi [Abstracts book new materials and stractions] Moscow, Chernogolovka Publ., 2007, p. 124 – 125.

3. McHenry, M.E., Willard, M.A., Laughlin, D.E. Amorphous and nanocrystalline materials for applications or soft magnets/ M.E. McHenry, M.A. Willard, D.E. Laughlin, Progress in Materials Science, 1999 - 291-433p.

McHenry M.E., Willard M.A., Laughlin D.E. Amorphous and nanocrystalline materials for applications or soft magnets/ M.E. McHenry, M.A. Willard, D.E. Laughlin, Progress in Materials Science, 1999. 291-433p.

4. Ohnuma, M., Ping, D., Abe, T., Onodera, H., Hono, K. Hono optimization of the microstructure and properties of Co-substituted Fe-Si-B-Nb-Cu nanocrystalline soft magnetic alloys/ M. Ohnuma, D. Ping, T. Abe, H. Onodera, K. Hono – J. Appl. Phys., - 2003. – V. 93. - №11. – 9186- 9194p.

Ohnuma M., Ping D., Abe T., Onodera H., Hono K. Hono optimization of the microstructure and properties of Co-substituted Fe-Si-B-Nb-Cu nanocrystalline soft magnetic alloys. J. Appl. Phys., - 2003. – V. 93. - №11. – 9186- 9194p.

5. Миркин Л. И Справочник по рентгеноструктурному анализу поликристаллов. Москва. Гос. изд. физ. – мат. лит., 1961 г. 1961, - 863 с.

Mirkin L.I., Spravochnic po rentgentostrukturnomu analizu [Hand book of x-ray analyze]. Moscow. F.-M. Publ., 1961.- 863p.

6. Кацнельсон А. А., Рентгенография. Спектрпрактикум. Москва. Изд. Московского университета. 1986. - 240с.

Kacnelson A. A. Rentgenografiya. Speckpraktikum. [ X-Ray analyze]. Moscow. M.U. Publ., 1986. – 240p.

7. Закалка из жидкого состояния / Мирошниченко И.– М.:Металлургия.-1982.-167с.

Miroshnichenko I.S Zakalka iz zidkogo sostoyaniya [Quenching from liquid state]. Moscow, Metallurgical Publ., 1982.167 p.

8. Bashev, V. F. Analiz teplovich rezhimov ochloczdeniy pri zakalke iz Rasplava [Analyze of thermalregimes at the quenching] / V. F. Bashev . - Analiz teplovich rezhimov ochloczdeniy pri zakalke iz Rasplava [Analyze of thermalregimes at the quenching] Visnik Dnipropetrovskoho natsionalnoho universytetu [Bulletin of Dnipropetrovsk National University], 1998, Issue №3, Volume 1 Fizika Publ. 3-6p.

9. А. И. Китайгородский. / Рентгеноструктурный анализ / Москва. ГИТТЛ 1950г.

A.I. Kitaygorodskiy / X-ray analyze / Moscow, SPTL, 1950.

10. Магнитные материалы /Мишин Д.Д. – М.:Мир.- 1981.-336с.

Mishin D. D. [Magnetic materials]. Moscow, Mir, 1981.336p

11. Miguel, C., Zhukov, A., del Val J. J., Gonzales J. Coercivity and induced magnetic anisotropy by stress/ or field annealing in Fe- and Co- based (Finemet – type) amorphous alloys/ C. Miguel, A. Zhukov, J. J. del Val, J. Gonzales - . J. Magn. Magn. Mater., 2005. – N 294. – 245-251p.

Miguel C., Zhukov, A., del Val J. J., Gonzales J. Coercivity and induced magnetic anisotropy by stress/ or field annealing in Fe- and Co- based (Finemet – type) amorphous alloys. J. Magn. Magn. Mater., 2005. – N 294. – 245-251p.

12. Gudoshnikov, S.A., Ljubimov, B.Ya., Palvanov, P.S., Prokhorova, Yu.V., Skomarovski, V.S., Usov, N.A., Torcunov, A.V. Influence of applied tensile stress on the magnetic behaviour of co-rich amorphous microwires/ S.A.Gudoshnikov, B.Ya. Ljubimov, P.S. Palvanov, Yu.V. Prokhorova, V.S. Skomarovski, N.A. Usov, A.V Torcunov –J. Phys.status Solidi, 2009.-206, No4. -625-629 p.

13. Baranov, S.A . Magnetic properties of Co-based amorphous microwire/ S.A. Baranov. - J. Magn. Magn. Mater., 2003. – N 266. – 278-281p.

14. Кестер У., Герольд У. Кристаллизация металлических стекол. КестерУ., Герольд У. //Металлические стекла.-Москва Мир 1983 – 325-371с.

Kester Y., Herold Y., /Crystallization of metallic glasses.- Moscow Publ. MIR, 1983 – 325 – 371p.

15. Suryanarayana, C./ Bulk Metallic Glasses/CRC Press, Hoboken, ISBN:9781420085976

*Статья рекомендована к публикации д-ром.техн.наук, проф. В. И. Большаковым (Украина); д-ром.физ.-мат.наук, проф. А. В. Коваленко (Украина)*

Поступила в редколлегию 21.01.2015

Принята к печати 23.01.2015